

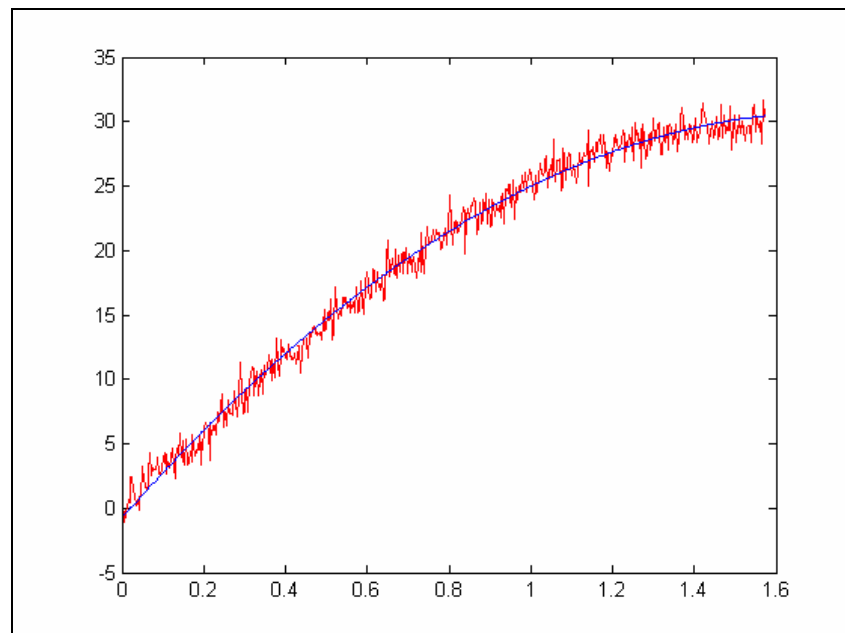
**Wykład III** << zrealizowany w 2006, przedrostki-nazwy zretuszowane w Acrobat >>  
**z Podstaw Przetwarzania Informacji**  
*(na danych obrazów 2D w środowisku Matlab 6.x 7.x)*

W zadaniu prezentacji danych obrazów 2D, jak i wykresów 3D (a szczególności danych rekonstrukcji powierzchni 3D na podstawie obrazów płaskich 2D) tytułem wstępu będzie omówiona funkcja dopasowania wielomianem do przebiegu funkcji zadanej tabelarycznie.

Niech dany będzie przebieg sinusoidalny, w określonym przez użytkownika zakresie  $([0, \pi/2])$  z nałożonym addytywnie przebiegiem szumu Gauss'owskiego. Wówczas wywołanie funkcji `polyfit` w skrypcie jak poniżej, umożliwi nam dopasowanie do przebiegu wielomianem II stopnia:

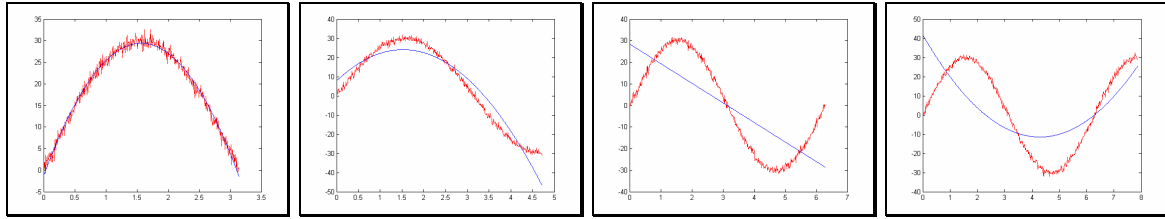
```
function [wykres]=dopasuj(zakres)% zakres => określenie przedziału
    dziedzina=linspace(0,zakres,500);%500 PUNKTOW W DZIEDZINIE NP:<0,2*pi>
    Y=30*sin(diedzina);           %przebieg sin liczony w zadanym przedziale
    X1=randn(500,1);             %losowe 500 próbek szumu Gauss'owskiego
    przebieg=Y+X1';              %przebieg wynikowy: zaszumiona sinusoida
    %aproxymacja wielomianem 2-go stopnia: y=a*x^2+b*x+c
    [wsp,struktura]=polyfit(diedzina,przebieg,2);
    %generacja punktów Krzywej otrzymanej w wyniku |aproxymacji:
    %a=wsp(1), b=wsp(2), c=wsp(3)
    Krzywa=wsp(3)+wsp(2).*diedzina+wsp(1).*diedzina.*diedzina;
    %wykreślaj przebieg na czerwono, a przebieg wiel.II stopnia na niebiesko
    plot(diedzina,przebieg,'r',diedzina,Krzywa,'b');
```

*Rys1 Skrypt `dopasuj.m` zadaniu aproksymacji przebiegu.*



*Rys2 Na czerwono przebieg, na niebiesko aproksymacja wielomianem II stopnia.*

Jednak, dla szerszego przedziału przebiegu zasadniczo periodycznego, aproksymacja wielomianem II stopnia jest nieefektywna:



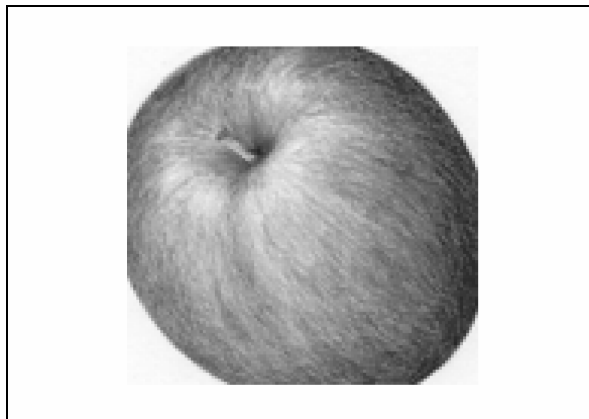
*Rys3 Na czerwono przebieg, na niebiesko aproksymacja wielomianem II stopnia.  
Widoczny brak dopasowania dla przedziału przebiegu okresowego w rozciągłości powyżej długości II.*

Porzucając temat aproksymacji przebiegów krzywymi wielomianowymi wyższych stopni, obecnie można by się zastanowić, nad prostą rekonstrukcją zarysu mikronierówności na obrazie 2D.

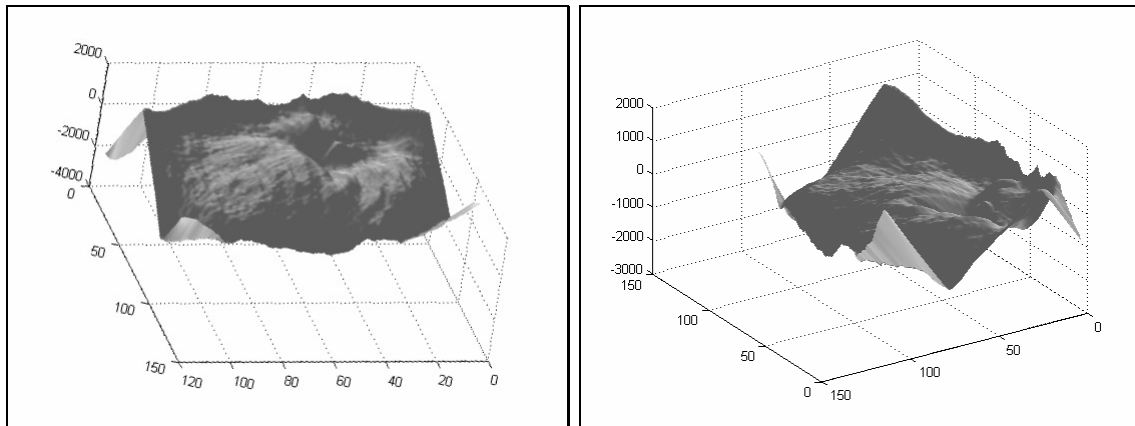
Można by, na przykład zsumowywać sukcesywnie intensywności luminancji w liniach poziomo lub pionowo. Powstała w ten sposób pochylona powierzchnia 3D danych wynikowych, mogłaby być następnie niwelowana w swoim pochyleniu, albo globalnie dla całej powierzchni, albo indywidualnie dla każdej z linii z osobna. To drugie rozwiązanie okazało się lepsze, a rezultaty choć nie są idealne, przypominają wyniki tych bardziej profesjonalnych rekonstrukcji 3D, już nie tylko dla mikronierówności, lecz również dla niektórych makroobiektów, typu twarz ludzka lub powierzchnia jabłka:

```
%skrypt naliczania sum kumulacyjnych z linii obrazu 2D
function [kcx]=mapalicz(obraz)
kx=cumsum(double(obraz),1); %naliczanie na I kierunku
for j=1:size(obraz,2);
    %szereg liczb naturalnych=>odpowiednik danych w linii
    y=1:size(obraz,1);
    %dopasowywanie wielomianem I stopnia do bieżącej linii obrazu 2D
    [p,s]=polyfit(y',kx(:,j),1);
    %wyznaczenie szeregu punktów wielomianu I stopnia
    cx=p(2)+p(1)*y';
    %niwelacja pochylenia linii sum intensywności luminancji
    kcx(:,j)=kx(:,j)-cx;
end;
%paleta kolorow 196-stopni gradacji szarosci
gr=linspace(0,1,196);
%paleta szarosci kompletna dla kanalow R G B
grs=[gr' gr' gr'];
%wywołanie funkcji surf1, prezentacji pow.3D z oświetleniem wirtualnym
surf1(kcx);shading interp;colormap(grs);
```

*Rys4 Naliczanie sum kumulacyjnych i niwelacja pochylenia aproksymowanym wielomianem I stopnia*



*Rys5 Rysunek jabłka z peryferyjnymi obszarami bieli w 4 rogach*



Rys6 Obiekt z rys.4 w rekonstrukcji 3D, dwa różne widoki z użyciem funkcji `surf1`.

W przypadku danych 3D, takich jak zrekonstruowane powierzchnie 3D, bardziej wskazane byłoby wykorzystanie mechanizmów generacji animacji z użyciem wywołania funkcji `getframe`, jak i możliwości cyklicznej zmiany parametrów obserwatora (lub/oraz wirtualnego oświetlenia) w prezentacji wyników z pomocą funkcji `surf1`. W tym celu możliwe jest wykorzystanie funkcji `view`, określającej kąt azymutu i elewacji dla punktu obserwatora:

```
function [M]=animuj(obraz)
kx=cumsum(double(obraz),1);
for j=1:size(obraz,2);
    y=1:size(obraz,1);
    [p,s]=polyfit(y',kx(:,j),1);
    cx=p(2)+p(1)*y';
    kcx(:,j)=kx(:,j)-cx;
end;
gr=linspace(0,1,196);
grs=[gr' gr' gr'];
surf1(kcx);shading interp;colormap(grs);
M=moviein(12); %rezerwacja klatek w animacji AVI
figure,
hold on;
for k=1:1:12,
    k*30
    view(k*30,45);%zmieniaj parametr azymutu w petli co 30 stopni
    surf1(kcx);shading interp;colormap(grs);
    M(:,k)=getframe; % lap klatku
end;
figure,movie(M);%odtworzenie probne animacji
% zapis na dysk z 4 klatkami/sek, w standardzie Indeo5 kompresji
movie2avi(M,'klatki_avi.avi','FPS',4,'COMPRESSION','Indeo5');
```

Rys7 Skrypt rekonstrukcji 3D i animacji z obrotem azymutalnym punktu obserwatora

Alternatywnym sposobem prezentacji danych wynikowych 3D, może być w niektórych sytuacjach scenariusz z nieruchomym punktem obserwacji, przy zmienianym kierunku rzutowanego światła. W skrypcie prezentowanym poniżej, dodatkowo zdecydowano się na wprowadzenie własnych arbitralnie wybranych ustawień modelu odbiciowego powierzchni 3D. Powierzchnia 3D prezentowana, będzie się wykazywać w strumieniu światła odbitego niewielkim stosunkowo współczynnikiem odbicia światła rozproszonego ( $k_a=0.1$ ), dość

dużym stosunkowo współczynnikiem odbicia matowego światła kierunkowego ( $k_d=0.5$ ) oraz istotnym, lecz nieprzeważającym w całości generowanej animacji AVI, udziałem połyskliwości (współczynniki modelu Phong'a  $k_s=0.1$  oraz  $k_{sn}=0.1$ ). Po zadeklarowaniu tych czterech powyższych parametrów ustawienia własności odbiciowych powierzchni dokonuje się wywołaniem funkcji `material`. Natomiast wirtualne źródło światła może być inicjowane (pierwsze źródło oraz kolejne jednocześnie naświetlające powierzchnię 3D) poprzez wywołanie funkcji `light`:

```
function [M]=animuj_kierunek_swiatla(obraz)
kx=cumsum(double(obraz),1);
for j=1:size(obraz,2);
    y=1:size(obraz,1);
    [p,s]=polyfit(y',kx(:,j),1);
    cx=p(2)+p(1)*y';
    kcx(:,j)=kx(:,j)-cx;
end;
gr=linspace(0,1,196);
grs=[gr' gr' gr'];
surfl(kcx);shading interp;colormap(grs);
M=moviein(24); %rezervacja klatek w animacji AVI
figure,
hold on;
view(30,45);%staly punkt obserwacji k.azymutu:30,elewacji:45
k_a=0.1; %wsp. odbicia swiatla rozproszonego
k_d=0.5; %wsp. odbicia matowego swiatla kierunkowo rzutowanego
k_s=0.1; %wsp. multiplikatywny modelu Phong'a
k_n=0.1; %wsp. eksponenty modelu Phong'a
material([k_a k_d k_s k_n]); %ustawienia wl. odbiciowych powierzchni
L1=light;%stworz wirtualne swiatlo
for k=1:12,
    k*30
    lightangle(L1,k*30,45);%zmieniaj parametr azymutu w petli co 30 stopni
    surfl(kcx);shading interp;colormap(grs);
    M(:,k)=getframe; % lap klatku
end;
figure,movie(M);%odtworzenie probne animacji
% zapis na dysk z 4 klatkami/sek, w standardzie Indeo5 kompresji
movie2avi(M,'klatkiB_avi.avi','FPS',4,'COMPRESSION','Indeo5');
```

*Rys8 Skrypt rekonstrukcji 3D i animacji ze zmianą cykliczną kierunku światła rzutowanego, z udziałem mieszanym odbicia matowego i połyskliwego*

Powyższy skrypt tworzy 12 klatek animacji z kątem azymutalnym kierunku rzutowanego światła zmienianym w pętli `for` co 30 stopni, a powstałą animację o nazwie powiedzmy `M` można wtórnie 'rozłożyć' na 12 obrazów indeksowanych (tj. w wydzieloną indywidualnie paletą kolorów), co uczyniono w następującej pętli:

```
for i=1:12,
    [X,Map]=frame2im(Mx(i));
    subplot(3,4,i);imshow(X);
end;
```

Jednakże, dla prezentacji w tym dokumencie wyników generacji tej animacji przytoczono jedynie sześć pierwszych klatek animacji w formie wykresu globalnego z wywołaniem funkcji subplot:



*Rys9 Pierwszych 6 klatek animacji AVI z kątem azymutu rzutowanego światła zmienianym, co 30 stopni*

Wracając do wykładu wstępnego II w temacie omawianym zastosowań *Image Processing Toolbox*, tworząc animację z kolejno coraz bardziej rozmywanych obiektów w polu fotografowanym, można wykorzystać wywołanie funkcji *blockproc*:

```
est4x4=blkproc(im,[4 4],'min(double(x(:)))');
est8x8=blkproc(im,[8 8],'min(double(x(:)))');
est16x16=blkproc(im,[16 16],'min(double(x(:)))');
est32x32=blkproc(im,[32 32],'min(double(x(:)))');
est64x64=blkproc(im,[64 64],'min(double(x(:)))');
```

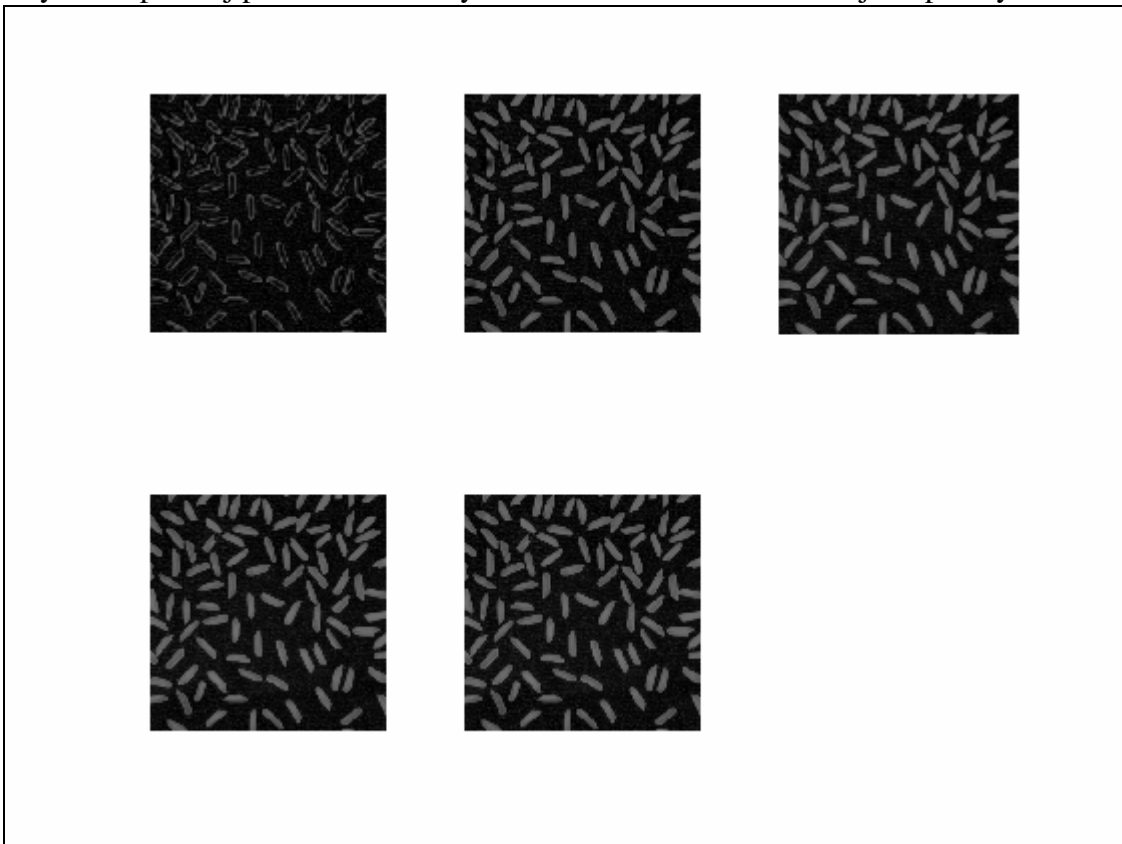
Wywołanie funkcji *blkproc* razem z funkcją oceny poszukiwanej wartości w podblokach o wielkości [4 4] lub [8 8] itp, pozwala w szczególności na określenie średniej intensywności tła w podblokach obrazu o zadanej wielkości (z wywołaniem *min* oraz pośrednio poprzez wyliczenie kolumnowe wszystkich elementów obrazu 2D). Problemem tylko pozostaje wielkość map wynikowych estymat średnich wartości tła (tj. średnich wartości minimalnych w podblokach). Należy zatem przeskalować mapy tych szacunkowych minimalnych intensywności do rozmiaru oryginalnego obrazu:

```
>> imest4x4=imresize(est4x4,[256 256],'bicubic');
>> imest8x8=imresize(est8x8,[256 256],'bicubic');
>> imest16x16=imresize(est16x16,[256 256],'bicubic');
>> imest32x32=imresize(est32x32,[256 256],'bicubic');
>> imest64x64=imresize(est32x32,[256 256],'bicubic');
```

Z użyciem funkcji `subtract` można następnie od treści oryginalnego obrazu 2D odjąć intensywności z map estymat intensywności minimalnych w podblokach, a z całości złożyć animację:

```
M=moviein(5);
figure, imshow(imsubtract(im, uint8(imest4x4)));
M(:,1)=getframe;
imshow(imsubtract(im, uint8(imest8x8)));
M(:,2)=getframe;
imshow(imsubtract(im, uint8(imest16x16)));
M(:,3)=getframe;
imshow(imsubtract(im, uint8(imest32x32)));
M(:,4)=getframe;
imshow(imsubtract(im, uint8(imest64x64)));
M(:,5)=getframe;
movie(M);
```

Na rysunku poniżej przedstawiono wyniki w formie 5 klatek animacji na podwykresach:



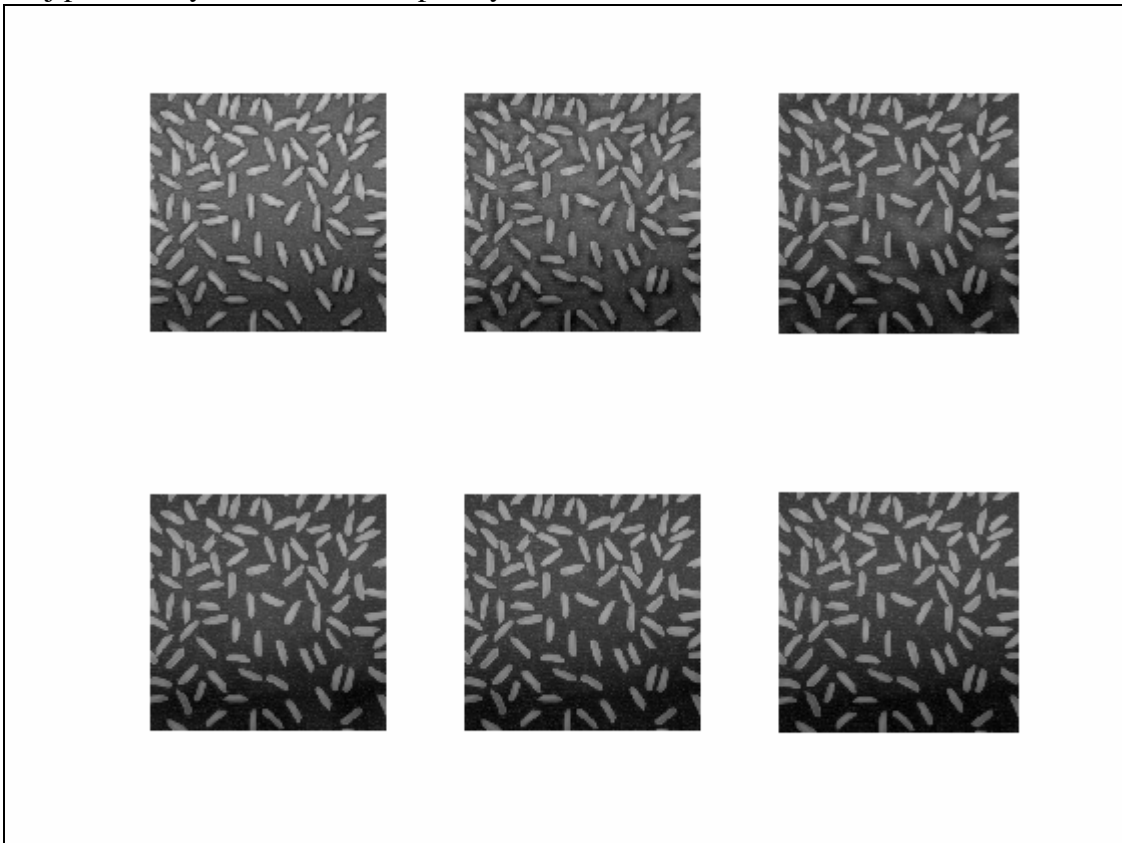
Rys10 Kolejne klatki animacji wyników oceny i niwelacji tła w podblokach na obrazie `rice.png`

Oczywiście wywołanie funkcji `blkproc` można zaimplementować z wywołaniami innych prostych funkcji estymacji wartości statystycznych w podblokach typu: `max`, `std`, `mean`, `median`:

```
std_est4x4=blkproc(im, [4 4], 'std(double(x(:)))');
>> std_est8x8=blkproc(im, [8 8], 'std(double(x(:)))');
>> std_est16x16=blkproc(im, [16 16], 'std(double(x(:)))');
>> std_est32x32=blkproc(im, [32 32], 'std(double(x(:)))');
>> std_est64x64=blkproc(im, [64 64], 'std(double(x(:)))');
>> std_est128x128=blkproc(im, [128 128], 'std(double(x(:)))');
```

```
>> imSTDest4x4=imresize(std_est4x4,[256 256],'bicubic');  
>> imSTDest8x8=imresize(std_est8x8,[256 256],'bicubic');  
>> imSTDest16x16=imresize(std_est16x16,[256 256],'bicubic');  
>> imSTDest32x32=imresize(std_est32x32,[256 256],'bicubic');  
>> imSTDest64x64=imresize(std_est64x64,[256 256],'bicubic');  
>> imSTDest128x128=imresize(std_est128x128,[256 256],'bicubic');  
>> M=moviein(6);
```

Poniżej podano wyniku w formie 6 podwykresów:



*Rys11 Kolejne klatki animacji wyników z próbą niwelacji informacji o odchyleniu standardowym intensywności luminancji w podblokach na obrazie [rice.png](#)*

Jak wynika z rysunku 11, być może korzystniej byłoby zaprezentować samą informację o standardowym odchyleniu intensywności luminancji pikseli w podblokach, niż dokonywać jednoczesnej niwelacji poprzez odejmowanie tej estymaty od treści obrazu zasadniczego.